

図 13 図 13 に比し、パルスの位相が 180° 変化している

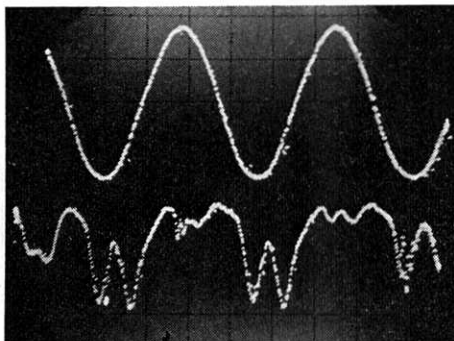


図 14 変則的なパルス

8. 3% 透過率反射鏡によるモード同期

free running の帯域 (スペクトル) が広い、および、LiNbO₃ の負荷電力が小さくできる等により、実験は、主に 6.8% mirror を用いたが、下記は、3% mirror を用いた時のパルス特性である。

図 12, 13, 14 は同一条件で観測される種々のパルスであるが、このうち、13, または、14 が通常見られる。

9. 結 論

現在得られるパルスは、発振スペクトル帯域、等価的 loss 等により制限され、半値幅、550 psec 程度である。さらにパルスを鋭くするには、エタロン効果の完全な除去、偏波面の確定等、不必要な loss を除去する必要があると考えられる。また、機械的振動、optical damage 等も改善しなければならない。(1971年10月11日受理)

(p.27よりつづく)

<p>2) 後藤信行, 時田澄男: 生産研究 23, 166 (1971) 3) 後藤信行, 李章鎬, 時田澄男: 生産研究 23, 146 (1971) 4) Paul E. Fanta: Chem. Rev., 38, 139 (1946) James Forrest: J. chem. Soc., 1960, 566 5) P. H. Gore, G. K. Hughes: J. chem Soc., 1615 (1959) 6) 永井芳男, 後藤信行, 小川昭二郎: 有合化 28, 930(1970) 7) M. Busch, W. Weber, H. Zink: J. Prokt. Chemie</p>	<p>155, 163 (1940) 8) 後藤信行, 時田澄男, 李章鎬: 生産研究 22, 482 (1970) 永井芳男, 長沢孝太郎: 工化 69, 74 (1966) 9) Kleiderer, E. C. Adams: J. Am. Chem. Soc., 55, 4219 10) 後藤, 時田, 湯浅, 佐藤, 李: 生産研究 21, 470 (1969) 11) P. E. Fanta: Chem. Rev., 64, 613 (1964)</p>
------------------------------------------------------------------------------------------------------------------------------------------------------------------------------------------------------------------------------------------------------------------------------------------------------------------------------------------------------------------------------------------------------------------------------------------------------	-----------------------------------------------------------------------------------------------------------------------------------------------------------------------------------------------------------------------------------------------------------------------------------------------------------------------------------------------------

正 誤 表 (11 月 号)

ページ	段	行	種 別	正	誤
2			図 1	横軸の原点 1	横軸の原点 0
4	右		図 5 説 明 文	必要な関係を示す.	必要な関係も示す.
29	"	下2	本 文	パワー・スペクトル・レベル	パワー・スペクトルレ・ベル